

Утолщение искаженных деформацией большеугловых границ зерен в наноматериалах

© С.В. Бобылев^{1–3}, И.А. Овидько^{1–3}

¹ Научно-исследовательская лаборатория „Механика новых наноматериалов“, Санкт-Петербургский политехнический университет, Санкт-Петербург, Россия

² Институт проблем машиноведения РАН, Санкт-Петербург, Россия

³ Санкт-Петербургский государственный университет, Санкт-Петербург, Россия

E-mail: ovidko@nano.ipme.ru

(Поступила в Редакцию 27 апреля 2015 г.)

Предложена теоретическая модель, которая описывает искаженные деформацией (неравновесные) большеугловые границы зерен в нанокристаллических и ультрамелкозернистых материалах. В рамках модели дислокационная структура таких границ представляется в виде комбинации стандартной стенки зернограницных дислокаций и захваченных из соседних зерен решеточных дислокаций (неравновесных дислокаций). Рассчитаны энергетические характеристики системы дефектов границы зерна. Показано, что утолщение границы за счет согласованного движения неравновесных дислокаций выгодно и осуществляется безбарьерно. Исследованы зависимости величины утолщения от различных параметров задачи, его типичные значения составляют величину порядка 1.5–2.5 nm, что согласуется с известными экспериментальными данными.

Работа выполнена за счет средств гранта Российского научного фонда (проект № 14-29-00199).

1. Введение

Нанокристаллические и ультрамелкозернистые материалы (далее наноматериалы) представляют собой новое поколение функциональных и структурных материалов, обладающих уникальными механическими, физическими и химическими свойствами (см., например, [1–6]). Наноматериалы являются предметом интенсивных научных исследований [1–11], что обусловлено их первостепенной значимостью для современных и будущих высоких технологий. В частности, наноматериалы характеризуются превосходными механическими свойствами, которые выгодно отличают их от обычных крупнозернистых поликристаллов с таким же химическим составом. Примером таких свойств являются высокие пределы текучести и прочности, высокая износостойкость, способность некоторых нанокристаллических металлов и сплавов к сверхпластической деформации [1–6]. Соответственно физика пластической деформации наноматериалов представляет собой предмет интенсивных научных исследований, которые мотивированы значительным потенциалом их практического применения и одновременно фундаментальным интересом к особым механизмам пластической деформации, действующим на наномасштабном уровне.

Уникальные свойства наноматериалов являются следствием размерных эффектов и наноструктуры, где исключительно важную роль в деформационных процессах играют межзеренные границы. Ввиду малости размера зерна границы зерен занимают значительную объем-

ную долю материала и поэтому играют определяющую роль в формировании механических свойств. С другой стороны, обычные внутризеренные механизмы деформации, связанные с движением решеточных дислокаций, в значительной степени подавлены при малых размерах зерен. Как следствие, большинство механизмов пластической деформации в наноматериалах контролируется межзеренными границами [1–6]. Как следствие, изучение особенностей структуры межзеренных границ и их трансформаций представляется исключительно важным для понимания процессов, происходящих в наноматериалах при их деформировании.

Недавно в эксперименте [12] была выявлена интересная особенность: увеличение толщины (до 2–3 nm) искаженных деформацией (неравновесных) границ зерен в массивных ультрамелкозернистых металлических материалах, полученных методом интенсивной пластической деформации. Ранее нами была предложена теоретическая модель миграции искаженных деформацией (неравновесных) малоугловых границ зерен [11], где среди прочего было показано, что такие границы должны расширяться (увеличивать свою толщину) даже в случае отсутствия внешнего механического напряжения. Данный факт находит подтверждение в экспериментальных наблюдениях [12] утолщенных границ зерен в массивных ультрамелкозернистых материалах, изготовленных методом интенсивной пластической деформации. Однако в эксперименте [12] наблюдаются, как правило, большеугловые границы зерен с увеличенной толщиной, а наша предыдущая работа [11] касалась исключительно

малоугловых границ. Основная цель настоящей работы — разработка теоретической модели, которая эффективно объясняет утолщение искаженных деформацией (неравновесных) большеугловых границ зерен в наноматериалах.

2. Утолщение искаженных деформацией большеугловых границ зерен: геометрические аспекты

Для описания процесса утолщения искаженных деформацией (неравновесных) большеугловых границ зерен в наноматериалах обобщим модель [11] на случай большеугловых границ зерен. В рамках подхода [11] неравновесная малоугловая граница зерна описывалась как комбинация „равновесных“ и „неравновесных“ дислокационных ансамблей. Первый ансамбль представляет собой обычную дислокационную стенку (симметричную границу наклона), тогда как второй ансамбль образован решеточными дислокациями, захваченными границей зерна в процессе пластической деформации и распределенными случайным образом вдоль плоскости границы. Аналогичное описание можно предложить и для случая большеугловой границы зерна. Используем для этого модель структурных единиц [13] для обычной (равновесной) большеугловой границы. В рамках этой модели граница образована периодически упорядоченными структурными единицами (атомными кластерами) двух типов (обозначим их α и β ; см. рис. 1). Если, например, количество единиц β меньше, чем единиц α , то единицы β называются минорными структурными единицами (minority structural units) и описываются как ядра периодически распределенных зернограничных дислокаций (рис. 1, *b*). Такие дислокации характеризуются векторами Бюргерса \mathbf{b}_{gb} (связанными с трансляционной симметрией границы зерна), модуль b_{gb} которых обычно меньше модуля вектора Бюргерса \mathbf{b} решеточных дислокаций и лежит в интервале $b/4 - b/3$ [13]. В том случае, если единицы β (или α) полностью отсутствуют (рис. 1, *a, c*), угол разориентировки границы $\theta_\alpha(\theta_\beta)$ определяется исключительно геометрией структурной единицы $\alpha(\beta)$, и граница называется предпочтительной. На зависимости энергии границы зерна от угла разориентировки такой границе соответствует локальный минимум энергии. Однако в общем случае равновесная большеугловая граница состоит из единиц двух типов (рис. 1, *b*), а ее угол разориентировки задается как $\theta = \theta_\alpha + \Delta\theta_\beta$, где $\Delta\theta_\beta$ — вклад, обеспечиваемый зернограничными дислокациями (единицы β) в суммарную разориентировку границы [13]. Угол $\Delta\theta_\beta$ связан с периодом h зернограничных дислокаций и величиной их вектора Бюргерса b_{gb} следующим соотношением:

$$\Delta\theta_\beta = 2 \arctan(b_{gb}/2h). \quad (1)$$

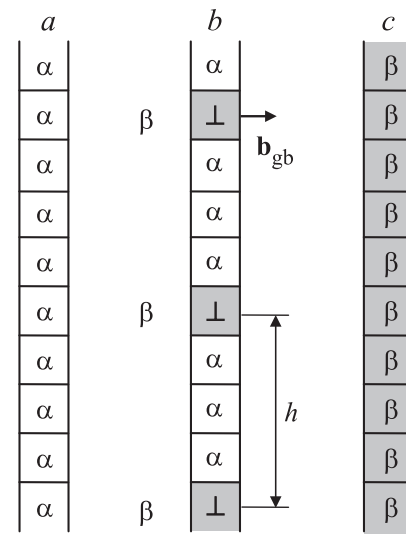


Рис. 1. Модель структурных единиц большеугловой границы (схематично). *a* — граница зерна образована только структурными единицами α ; *b* — граница зерна состоит из структурных единиц двух типов α и β (зернограничные дислокации связаны со структурными единицами β); *c* — граница зерна состоит только из структурных единиц β .

Используем теперь описанную выше модель как основу для модели искаженной деформацией большеугловой границы зерна в нанокристаллическом материале (рис. 2). Рассмотрим границу *AB* длиной d в некотором фрагменте нанокристаллической структуры (рис. 2, *a*). Пусть эта граница образована структурными единицами двух типов, т.е. в соответствии с изложенным выше содержит периодическую стенку зернограничных дислокаций, характеризующихся вектором Бюргерса \mathbf{b}_{gb} . Теперь в духе модели малоугловой границы [11] будем считать, что искаженная деформацией большеугловая граница также содержит неравновесные решеточные дислокации противоположных знаков $\pm\mathbf{b}$ (рис. 2, *b*), захваченные из соседних зерен и распределенные случайным образом вдоль плоскости границы. Так же как и в модели [11], будем предполагать, что количество положительных и отрицательных неравновесных дислокаций одинаково, так что эти дислокации не влияют на среднюю разориентировку границы зерна, обеспечивая лишь локальные ее флуктуации около среднего значения θ .

Прочие границы зерна (*GB1–GB4*), прилегающие к тройным стыкам *A* и *B*, полагаются симметричными границами наклона. Однако для простоты мы не будем рассматривать их дислокационную структуру и для учета их влияния на процесс миграции границы *AB* используем дисклинационную модель [14], согласно которой оборванная с одного конца симметричная граница наклона может быть приближенно представлена как клиновидная дисклинация с мощностью, равной

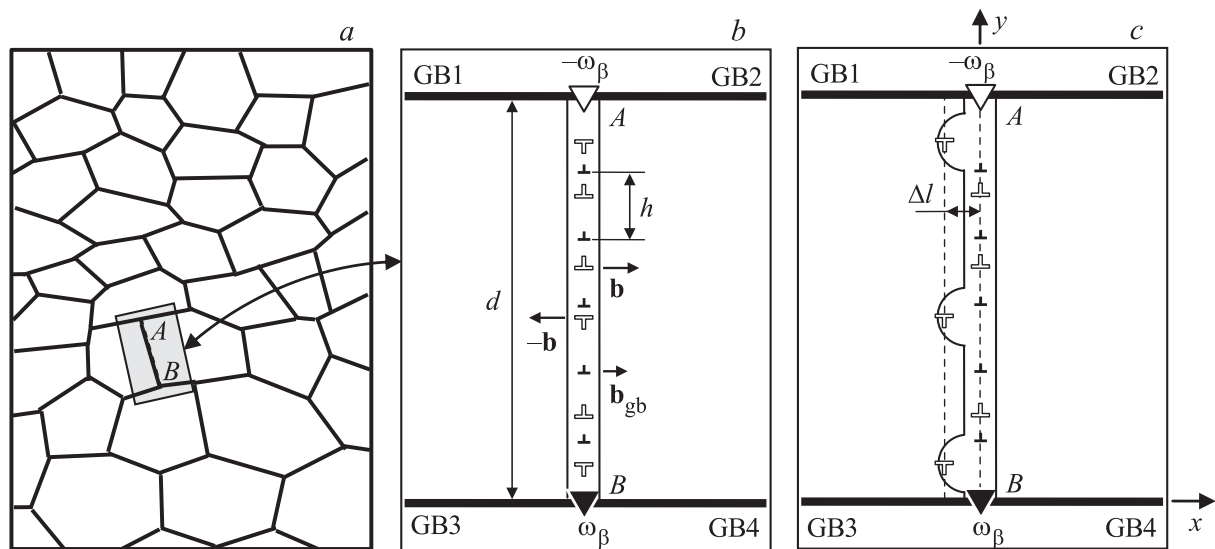


Рис. 2. Модель утолщения искаженной деформацией большеугловой границы зерна со случайно распределенными неравновесными дислокациями. *a* — фрагмент нанокристаллического образца (общий вид), *b* — исходное состояние. Неравновесная граница зерна *AB* моделируется как комбинация стенки зернограницных дислокаций (темные дислокационные значки) и „неравновесной“ структуры из положительных и отрицательных решеточных дислокаций (светлые дислокационные значки). Влияние соседних границ зерен (GB1–GB4) описывается дисклинационным диполем *AB* (детали см. в тексте). *c* — расширенная конфигурация границы зерна, в которой отрицательные неравновесные дислокации синхронно смещаются на расстояние Δl из исходного положения.

углу разориентировки границы зерна. Если предположить, что изначально стыки *A* и *B* являются полностью скомпенсированными (т.е. сумма углов разориентировки границ зерен, сходящихся в этом стыке, равна нулю), то угол разориентировки θ границы *AB* равен сумме углов разориентировки остальных двух границ с противоположным знаком. Таким образом, в эквивалентном дисклинационном представлении влияние границ GB1–GB4 представляется в виде диполя клиновых дисклинаций с мощностями $\pm\omega_0$, где $\omega_0 = \theta$. Поскольку угол разориентировки θ границы *AB* складывается из двух частей, определяемых структурными единицами α и β ($\theta = \theta_\alpha + \Delta\theta_\beta$), дисклинационный диполь можно аналогично представить в виде суммы двух диполей: $\omega_0 = \omega_\alpha + \omega_\beta$, где $\omega_\alpha = \theta_\alpha$ и $\omega_\beta = \Delta\theta_\beta$. В рамках нашей модели, однако, часть границы *AB*, представляемая структурными единицами α , является полностью статичной и никак не изменяется в процессе трансформации, которая описывается далее. Поле напряжений структуры α полностью компенсирует поле напряжений диполя ω_α , так что прочие дефекты (зернограницные и неравновесные дислокации) с ним не взаимодействуют. Как следствие, при расчете взаимодействия с границами GB1–GB4 достаточно учитывать вклад $\omega_\beta = \Delta\theta_\beta$, т.е. упругие поля напряжений, создаваемые этими границами, моделируются диполем клиновых дисклинаций, расположенных в стыках *A* и *B* и характеризующихся мощностью $\pm\omega_\beta$ (рис. 2, *b*).

3. Утолщение искаженных деформацией большеугловых границ зерен: энергетические характеристики

Теоретический анализ в [11] показал, что в неравновесных малоугловых границах даже в отсутствие приложенных механических напряжений энергетически выгодной является утолщенная конфигурация границы, когда отрицательные неравновесные дислокации коллективно смещаются из исходной плоскости границы подобно тому, как показано на рис. 2, *c*. Далее продемонстрировано, что утолщенная конфигурация на рис. 2, *c* в случае большеугловой границы также энергетически выгоднее исходной конфигурации границы (рис. 2, *b*). При этом, как и в [11], предполагаем, что неравновесные дислокации смещаются синхронно в виде плоской стенки и их положение можно описать одним параметром Δl , характеризующим утолщение большеугловой границы зерна (рис. 2, *c*).

Для этого запишем изменение полной энергии системы ΔW в результате такого процесса. Из рис. 2, *c* следует, что в процессе описываемой трансформации претерпевают изменения энергии взаимодействия отрицательных неравновесных дислокаций с дисклинационным диполем *AB* и со всеми прочими дислокациями (зернограницными и положительными неравновесными, которые остаются на исходных позициях). Отсюда вели-

чину ΔW можно записать в следующем виде:

$$\begin{aligned} \Delta W = & \sum_{i=1}^{n/2} \sum_{j=1}^k W^{d-d}(-b, b_{gb}, \Delta l, y_j^{(gb)} - y_i^{(-)}) \\ & + \sum_{i=1}^{n/2} \sum_{j=1}^{n/2} W^{d-d}(-b, b, \Delta l, y_j^{(+)} - y_i^{(-)}) \\ & + \sum_{i=1}^{n/2} W^{\Delta-d}(-b, \Delta l, y_i^{(-)}) \\ & - \sum_{i=1}^{n/2} \sum_{j=1}^k W^{d-d}(-b, b_{gb}, 0, y_j^{(gb)} - y_i^{(-)}) \\ & - \sum_{i=1}^{n/2} \sum_{j=1}^{n/2} W^{d-d}(-b, b, 0, y_j^{(+)} - y_i^{(-)}) \\ & - \sum_{i=1}^{n/2} W^{\Delta-d}(-b, 0, y_i^{(-)}). \end{aligned} \quad (2)$$

Здесь $W^{d-d}(b_1, b_2, x_i - x_j, y_i - y_j)$ — энергия взаимодействия двух крайних дислокаций (с параллельными векторами Бюргера \mathbf{b}_1 и \mathbf{b}_2), находящихся в точках с координатами (x_i, y_i) и (x_j, y_j) соответственно (здесь и далее используется система координат, изображенная на рис. 2, c); $W^{\Delta-d}(b, x_i, y_i)$ — энергия взаимодействия между дисклинационным диполем и дислокацией с вектором Бюргера \mathbf{b} (перпендикулярным оси диполя), находящейся в точке с координатами (x_i, y_i) ; n — количество неравновесных дислокаций (это число четное, так как предполагается, что число положительных и отрицательных неравновесных дислокаций одинаково); k — количество зернограничных дислокаций; $y_i^{(gb)} = ih$ — y -координата i -й зернограничной дислокации ($i = 1, 2, \dots, k$); $y_i^{(+)}$ и $y_i^{(-)}$ — y -координаты положительных и отрицательных неравновесных дислокаций ($i = 1, 2, \dots, n/2$). Нумерация дислокаций в формуле (2) идет от стыка B (рис. 2) и является раздельной для зернограничных, положительных и отрицательных неравновесных дислокаций. С учетом того, что зернограничные дислокации распределены периодически (с периодом h), из элементарных геометрических соображений их количество k выражается следующим образом:

$$k = [d/h]. \quad (3)$$

Здесь нотация $[x]$ обозначает целую часть x . Число n неравновесных дислокаций в рамках нашей модели задается произвольно.

Энергии $W^{d-d}(b_1, b_2, x_i - x_j, y_i - y_j)$, $W^{\Delta-d}(b, x_i, y_i)$ хорошо известны (см., например, [14,15]) и записываются

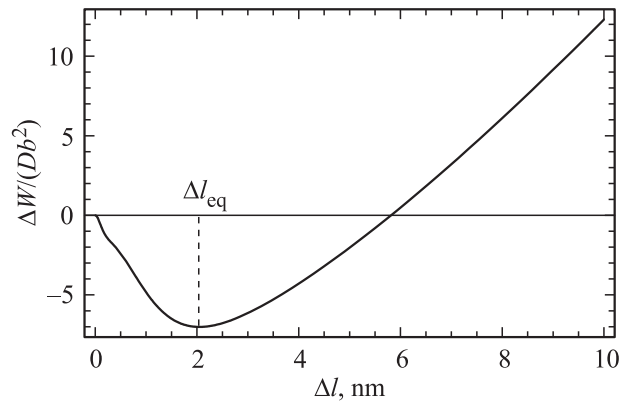


Рис. 3. Зависимость изменения энергии ΔW от смещения Δl отрицательных неравновесных дислокаций (утолщения границы зерна), рассчитанная на примере алюминия для следующих значений параметров задачи: $b_{gb} = b/3$, $h = 10b_{gb}$, $d = 40$ nm.

ся в виде:

$$\begin{aligned} W^{d-d}(b_1, b_2, x_i - x_j, y_i - y_j) = & Db_1 b_2 \\ & \times \left(\ln \frac{R}{\sqrt{(x_i - x_j)^2 + (y_i - y_j)^2}} - \frac{(y_i - y_j)^2}{(x_i - x_j)^2 + (y_i - y_j)^2} \right), \end{aligned} \quad (4)$$

$$W^{\Delta-d}(b, x_i, y_i) = D\omega_\beta b$$

$$\times \left[(y_i - d) \ln \frac{R}{\sqrt{x_i^2 + (y_i - d)^2}} - y_i \ln \frac{R}{\sqrt{x_i^2 + y_i^2}} \right], \quad (5)$$

где $D = G/[2\pi(1 - \nu)]$, G — модуль сдвига, ν — коэффициент Пуассона, R — радиус экранирования упругих напряжений дислокационных и дисклинационных дефектов. С учетом (1) и того факта, что мощность $\omega_\beta = \Delta\theta_\beta$, можно выразить мощность дисклинационного диполя через период стенки зернограничных дислокаций h и модуль вектора Бюргера b_{gb} как $\omega_\beta = 2 \arctan(b_{gb}/2h)$.

Таким образом, мы нашли все необходимое (выражения (2)–(5)) для вычисления изменения энергии ΔW . Окончательное выражение ввиду его громоздкости здесь не приводится.

Далее выполнен расчет энергии ΔW на примере алюминия. Для этого материала характерны следующие значения параметров [15]: $G = 73$ GPa, $\nu = 0.34$, $b = 0.25$ nm. На рис. 3 приведена характерная зависимость $\Delta W(\Delta l)$, рассчитанная для параметров задачи: $b_{gb} = b/3$, $h = 20b_{gb}$, $d = 40$ nm. (В формулы (4) и (5) входит еще радиус экранирования R , но, используя (2), можно показать, что изменение энергии ΔW от R не зависит.) Неравновесные дислокации для определенности в данном случае были распределены периодически следующим образом: $y_i^{(+)} = b + 2(i - 1)p$, $y_i^{(-)} = b + 2ip$ ($i = 1, 2, \dots, n/2$), где $p = 5b$ — период следования неравновесных дислокаций. При таком определении координат дислокаций их количество n задается

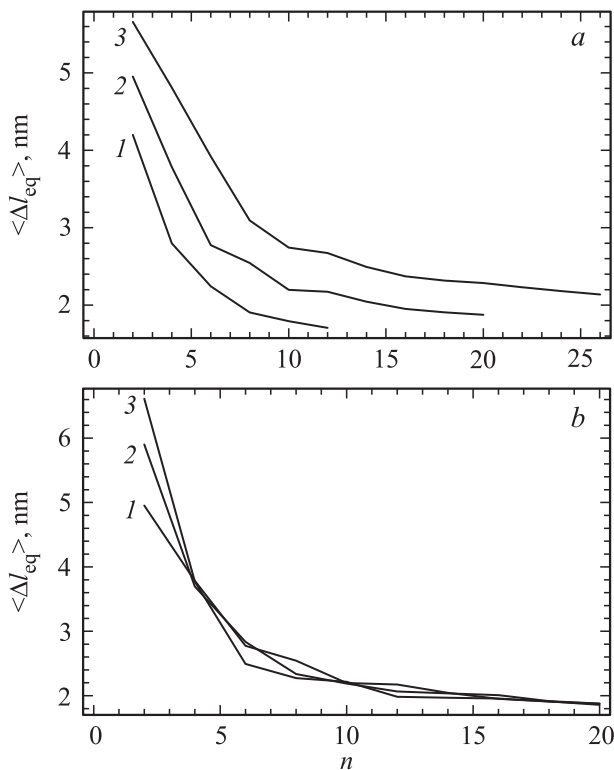


Рис. 4. Рассчитанные зависимости усредненного утолщения границы зерна в Al $\langle \Delta l_{\text{eq}} \rangle$ от числа n неравновесных дислокаций. *a* — для $h = 10b_{\text{gb}}$, $d = 20$ (1), 30 (2) и 40 нм (3); *b* — для $d = 30$ нм, $h = 10b_{\text{gb}}$ (1), $15b_{\text{gb}}$ (2) и $20b_{\text{gb}}$ (3).

как $n = [(d - 2b)/p]$ (в том случае, если это число оказывается нечетным, оно уменьшается на единицу); для параметров, заданных выше, кривая на рис. 3 соответствует $n = 26$. Вид кривой $\Delta W(\Delta l)$ на рис. 3, как показывает наш анализ, абсолютно типичен для любого (не только периодического) распределения неравновесных дислокаций. Всегда существует минимум изменения энергии для некоторого равновесного значения $\Delta l_{\text{eq}} > 0$, т.е. исходное состояние границы (рис. 2, *b*) не является стабильным. При этом переход в стабильное состояние из исходной конфигурации (рис. 2, *b*) является безбарьерным и должен осуществляться самопроизвольно, т.е. неравновесные большеугловые границы зерен имеют тенденцию к утолщению.

Далее исследована зависимость величины Δl_{eq} от различных параметров задачи (также на примере алюминия): числа n неравновесных дислокаций (рис. 4), длины d границы (рис. 5) и периода h структуры зернограницных дислокаций (рис. 6). В этом анализе рассматривались случайные распределения неравновесных дислокаций и использовалась следующая схема расчета. Для заданного набора параметров задачи генерировалось 1000 случайных распределений неравновесных дислокаций и для каждого распределения определялась величина равновесного утолщения Δl_{eq} . После этого Δl_{eq}

усреднялось по всем сгенерированным распределениям и определялось среднее его значение $\langle \Delta l_{\text{eq}} \rangle$.

Так, на рис. 4, *a* представлены зависимости $\langle \Delta l_{\text{eq}} \rangle(n)$, рассчитанные для значений $h = 10b_{\text{gb}}$ и $d = 20, 30$ и 40 нм (кривые 1–3 соответственно). На рис. 4, *b* зависимости $\langle \Delta l_{\text{eq}} \rangle(n)$ приведены для значений $d = 30$ нм и $h = 10b_{\text{gb}}, 15b_{\text{gb}}$ и $20b_{\text{gb}}$ (кривые 1–3 соответственно). Прочие параметры задачи те же, что и выше. Максимальное значение n , для которого построены кривые на рис. 4, соответствует среднему расстоянию между неравновесными дислокациями $\langle p \rangle \sim 5b$. Из рис. 4 видно, что типичные значения $\langle \Delta l_{\text{eq}} \rangle$ лежат в диапазоне от 1.5 до 5 нм, причем $\langle \Delta l_{\text{eq}} \rangle$ больше для границ с меньшим числом неравновесных дислокаций, т.е. чем больше неравновесных дислокаций содержит граница зерна, тем она устойчивее к утолщению. Нужно, однако, иметь в виду, что при очень малом числе неравновесных дислокаций (например, при $n = 2$ имеется всего одна отрицательная неравновесная дислокация) нельзя говорить об утолщении границы как целого; скорее, происходит испускание одиночной дислокации из границы зерна. Для границ, содержащих достаточно высокую плотность неравновесных дислокаций, типичные величины $\langle \Delta l_{\text{eq}} \rangle \sim 1.5\text{--}2.5$ нм, что хорошо коррелирует с экспериментально наблюдаемыми [12] границами приблизительно такой же толщины в массивных ультрамелкозернистых материалах.

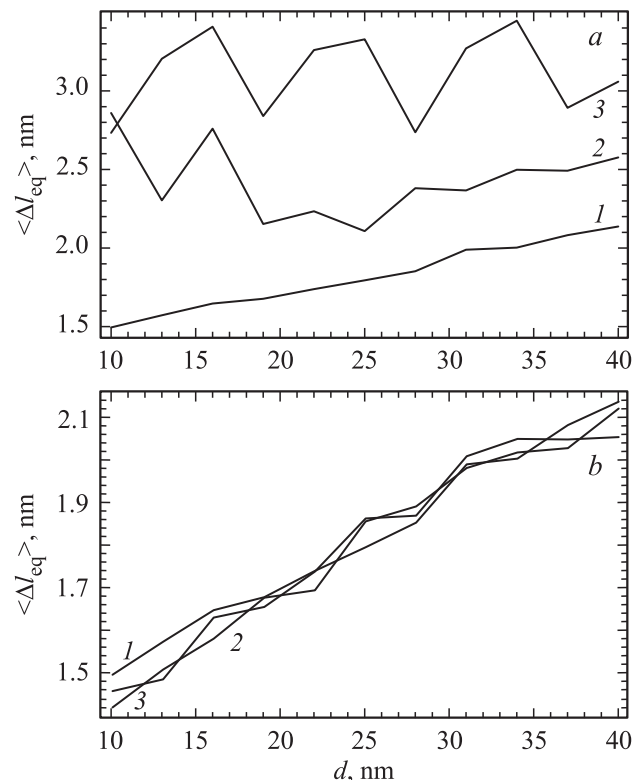


Рис. 5. Рассчитанные зависимости усредненного утолщения границы зерна в Al $\langle \Delta l_{\text{eq}} \rangle$ от размера зерна d неравновесных дислокаций. *a* — для $h = 10b_{\text{gb}}$, $\langle p \rangle = 5b$ (1), $10b$ (2) и $15b$ (3); *b* — для $\langle p \rangle = 5b$, $h = 10b_{\text{gb}}$ (1), $15b_{\text{gb}}$ (2) и $20b_{\text{gb}}$ (3).

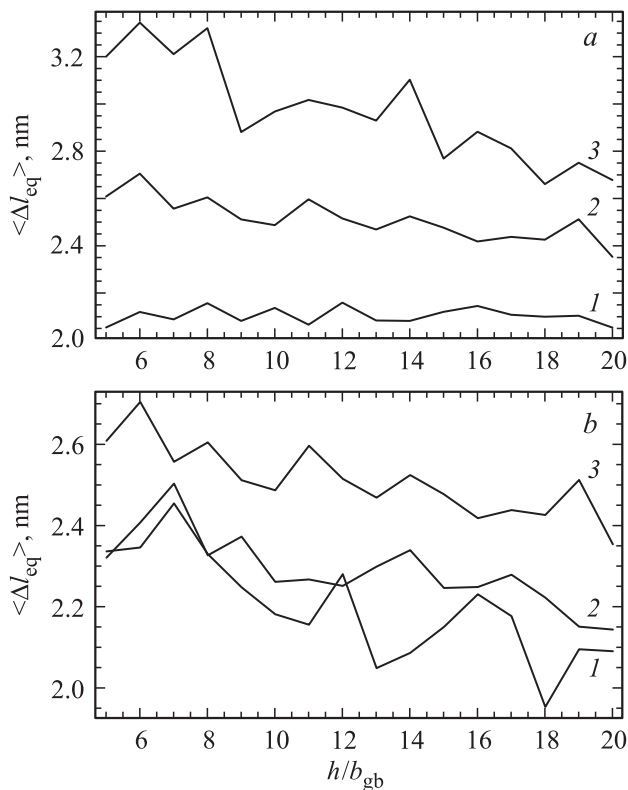


Рис. 6. Рассчитанные зависимости усредненного утолщения границы зерна в Al ($\langle \Delta l_{eq} \rangle$) от периода h структуры зернограницных дислокаций. *a* — $d = 40$ nm, $\langle p \rangle = 5b$ (1), $10b$ (2) и $15b$ (3); *b* — для $\langle p \rangle = 10b$, $d = 20$ (1), 30 (2) и 40 nm (3).

Рис. 5 иллюстрирует зависимости $\langle \Delta l_{eq} \rangle(d)$. Кривые на рис. 5, *a* рассчитаны для значений $h = 10b_{gb}$ и $\langle p \rangle = 5b$, $10b$ и $15b$ (кривые 1–3 соответственно), а на рис. 5, *b* — для значений $\langle p \rangle = 5b$ и $h = 10b_{gb}$, $15b_{gb}$ и $20b_{gb}$ (кривые 1–3 соответственно). Число неравновесных дислокаций связано со средним расстоянием $\langle p \rangle$ между ними: $n = [(d - 2b)/\langle p \rangle]$. Хорошо видно, что наблюдается тенденция к увеличению $\langle \Delta l_{eq} \rangle$ с ростом размера зерна. На кривых соответствующих низким плотностям неравновесных дислокаций (большим $\langle p \rangle$) наблюдаются значительные осцилляции, связанные с дискретным характером модели и погрешностями усреднения.

На рис. 6 показаны зависимости $\langle \Delta l_{eq} \rangle(h)$. Кривые на рис. 6, *a* рассчитаны для значений $d = 40$ nm и $\langle p \rangle = 5b$, $10b$ и $15b$ (кривые 1–3 соответственно), а на рис. 6, *b* — для значений $\langle p \rangle = 10b$ и $d = 20$, 30 и 40 nm (кривые 1–3 соответственно). Видно, что утолщение слабо зависит от периода структуры зернограницных дислокаций (фактически угла разориентировки границы) с небольшой тенденцией к снижению $\langle \Delta l_{eq} \rangle$ с ростом h .

4. Заключение

Таким образом, в настоящей работе построена теоретическая модель, которая эффективно описывает иска-

женную деформацией большеугловую границу на основе ранее предложенной нами модели [11] для искаженных деформацией малоугловых границ и модели структурных единиц [13], описывающей обычные (неискаженные деформацией) большеугловые границы. В рамках этой модели структура границы зерна описывается в виде комбинации стандартной периодической стенки зернограницных дислокаций и случайного распределения неравновесных решеточных дислокаций противоположных знаков, захваченных из соседних зерен (рис. 2). Было показано, что расширенная конфигурация (рис. 2, *c*), в которой отрицательные неравновесные дислокации смещены относительно плоскости границы на некоторое расстояние Δl_{eq} , является энергетически более выгодной, чем та, где все дислокации находятся в одной плоскости (рис. 2, *b*). При этом переход между этими двумя состояниями является безбарьерным и происходит самопроизвольно даже в отсутствие внешних напряжений. Были исследованы зависимости усредненных утолщений $\langle \Delta l_{eq} \rangle$ по набору случайных распределений неравновесных дислокаций в зависимости от количества неравновесных дислокаций, размера зерна (длины границы) и периода структуры зернограницных дислокаций. Было показано, что типичные значения $\langle \Delta l_{eq} \rangle$ лежат в диапазоне ~ 1.5 – 2.5 nm, что хорошо коррелирует с экспериментально наблюдаемыми [12] границами приблизительно такой же ширины в массивных ультрамелкозернистых материалах.

Список литературы

- [1] I.A. Ovid'ko. *Int. Mater. Rev.* **50**, 65 (2005).
- [2] M. Dao, L. Lu, R.J. Asaro, J.T.M. De Hosson, E. Ma. *Acta Mater.* **55**, 4041 (2007).
- [3] C.S. Pande, K.P. Cooper. *Prog. Mater. Sci.* **54**, 689 (2009).
- [4] C.C. Koch, I.A. Ovid'ko, S. Seal, S. Veprek. *Structural nanocrystalline materials: fundamentals and applications*. Cambridge University Press, Cambridge (2007). 364 p.
- [5] Y. Estrin, A. Vinogradov. *Acta Mater.* **61**, 782 (2013).
- [6] Г.А. Малыгин. *УФН* **181**, 1129 (2011).
- [7] Р.Ф. Альмухаметов, Л.А. Габдрахманова, И.З. Шарипов, Я.Ф. Абзгильдин. *ФТТ* **56**, 224 (2014).
- [8] О.А. Маслова, Ф.В. Широков, Ю.И. Юзюк, М.Е. Marssi, M. Jain, N. Ortega, R.S. Katiyar. *ФТТ* **56**, 308 (2014).
- [9] Н.В. Токий, В.В. Токий, А.Н. Пилипенко, Н.Е. Письменова. *ФТТ* **56**, 966 (2014).
- [10] В.А. Москаленко, В.И. Бетехтин, Б.К. Кардашев, А.Г. Кадомцев, А.Р. Смирнов, Р.В. Смолянец, М.В. Нарыкова. *ФТТ* **56**, 1539 (2014).
- [11] S.V. Bobylev, I.A. Ovid'ko. *Acta Mater.* **88**, 260 (2015).
- [12] X. Sauvage, G. Wilde, S.V. Divinski, Z. Horita, R.Z. Valiev. *Mater. Sci. Eng. A* **540**, 1 (2012).
- [13] A.P. Sutton, R.W. Balluffi. *Interfaces in crystalline materials*. Oxford Science Publ., Oxford (1996). 819 p.
- [14] В.И. Владимиров, А.Е. Романов. *Дисклинация в кристаллах*. Наука, Л. (1986). 224 с.
- [15] J.P. Hirth, J. Lothe. *Theory of dislocations*. Wiley, N.Y. (1982). 857 p.